

# Digrafos no-derogatorios

Diego Bravo and Juan Rada

## Abstract

Un digrafo  $D$  es no-derogatorio si su matriz de adyacencia es no-derogatoria, i.e, el polinomio característico de  $A$  es igual al polinomio minimal de  $A$ . Analizamos el problema de si la coalescencia de digrafos es no-derogatoria. Se presenta una expresión para el polinomio característico de la coalescencia de dos digrafos. Encontramos una caracterización de los digrafos unicíclicos no-derogatorios en términos de condiciones de hamiltoniedad.

**key words.** nonderogatory digraphs, coalescence of digraphs

**AMS(MOS) subject classifications.** 05C50

## 1 Introducción

Un grafo dirigido o digrafo  $D$  es un conjunto no vacío de objetos llamados vértices, junto con un conjunto (posiblemente vacío) de pares ordenados de vértices diferentes de  $D$ , llamados arcos. El conjunto de vértices se denota por  $V(D)$  y el conjunto de arcos por  $E(D)$ . Si  $a = (x, y)$  es un arco de  $D$  entonces decimos que existe un arco desde  $x$  hasta  $y$ . Dos vértices  $x, y$  son adyacentes si existe un arco desde  $x$  hasta  $y$  o un arco desde  $y$  hasta  $x$ . Un camino de longitud  $l$  en un digrafo  $D$  desde el vértice  $u$  hasta el vértice  $v$ , es una sucesión de vértices

$$u = u_0, u_1, \dots, u_l = v$$

(a veces denotada por  $u_0 \rightarrow u_1 \rightarrow \dots \rightarrow u_l$ ), donde  $(u_{t-1}, u_t)$  es un arco de  $D$  para todo  $1 \leq t \leq l$ . Si  $u = v$  decimos que el camino es cerrado y si además  $u_i \neq u_j$  para todo  $i \neq j$  ( $i, j = 1, \dots, l$ ), entonces el camino cerrado es un ciclo. Una trayectoria es un camino sin vértices repetidos.

Si  $A$  es la matriz de adyacencia de  $D$  entonces el polinomio característico de  $D$  es el polinomio característico de  $A$  y usualmente se denota por  $\Phi_D(x)$ . Es decir,

$$\Phi_D(x) = |xI - A|$$

donde  $I$  es la matriz identidad.

Por el Teorema de Cayley-Hamilton,  $\Phi_D(A) = 0$ . El polinomio mónico de menor grado que anula a  $A$  se llama el polinomio minimal de  $D$  y lo denotaremos por  $\mu_D(x)$ . Recordamos que si

$$\Phi_D(x) = (x - \lambda_1)^{q_1} (x - \lambda_2)^{q_2} \cdots (x - \lambda_r)^{q_r}$$

donde  $q_1, \dots, q_r$  son enteros positivos entonces

$$\mu_D(x) = (x - \lambda_1)^{p_1} (x - \lambda_2)^{p_2} \cdots (x - \lambda_r)^{p_r}$$

donde  $1 \leq p_i \leq q_i$ , para todo  $i = 1, \dots, r$ . Si  $\Phi_D(x) = \mu_D(x)$  entonces decimos que el digrafo  $D$  es no-derogatorio. En caso contrario,  $D$  es derogatorio.

Uno de los primeros artículos sobre el estudio de los digrafos no-derogatorios apareció en la literatura a principios de los años 70. El matemático A. Mowshowitz [6] demostró que el grupo de automorfismos  $\Gamma(D)$  de un digrafo es abeliano y, como es bien sabido,  $\Gamma(D)$  está relacionado con las simetrías del digrafo.

Los dicaminos  $P_n$ , los diciclos  $C_n$  y los molinos de viento  $M_h(r)$  (con  $r = 2$ ) son ejemplos de digrafos no-derogatorios ([2] y [7]). Otros ejemplos son los diabánicos  $F_n$  y las dirruedas  $W_n$ , que son considerados por Lam y Lim ([4] y [5]). En particular ellos trataron el problema de si el producto completo de digrafos no-derogatorios es no-derogatorio. Más recientemente ([3]), C.S. Gan mostró que el producto completo de diabánicos y dirruedas es no-derogatorio. Motivados por estos resultados, consideramos una operación bien conocida para digrafos, la llamada coalescencia de digrafos y, analizamos el problema de si la coalescencia de diabánicos y dirruedas es no-derogatoria.

Aunque el polinomio característico de la coalescencia de diabánicos y dirruedas se puede calcular directamente usando el Teorema de los Coeficientes para Digrafos ([1, Teorema 1.2]), presentamos en la Sección 2 una fórmula general para el polinomio característico de la coalescencia de dos digrafos.

Con el fin de estudiar el problema general, en las Secciones 4 y 5 nos proponemos investigar sobre posibles caracterizaciones de los digrafos no-derogatorios. El caso más sencillo es cuando el digrafo es acíclico, es decir, cuando el digrafo no tiene ciclos. Si  $D$  es un digrafo acíclico con  $n$  vértices entonces demostramos que  $D$  es no-derogatorio si, y sólo si, la matriz de adyacencia  $A$  satisface  $A^{n-1} \neq 0$ . Teniendo en cuenta que la entrada  $ij$  de la matriz  $A^{n-1}$  es precisamente el número de caminos en  $D$  de longitud  $n - 1$ , entonces llegamos a una primera caracterización de digrafos acíclicos no-derogatorios:  $D$  es no-derogatorio si, y sólo si,  $D$  contiene una trayectoria hamiltoniana.

## 2 Coalescencia de digrafos

Si  $D$  es un digrafo, denotamos el conjunto de vértices de  $D$  por  $V_D$  y el conjunto de arcos por  $E_D$ . Dado  $u \in V_D$ , el digrafo  $D - u$  es el digrafo obtenido de  $D$  al eliminar el vértice  $u$  junto con los arcos conectados a  $u$ .

La definición de coalescencia de grafos (no dirigidos) ([1]) se puede extender a digrafos como sigue. La coalescencia de los digrafos  $D$  y  $H$  con respecto a los vértices  $u \in V_D$  y  $v \in V_H$ , es el digrafo obtenido a partir de  $D$  y  $H$  identificando los vértices  $u$  y  $v$  como  $w$ . Más formalmente,

**Definición 2.1** Sean  $D$  y  $H$  dos digrafos tales que  $u \in V_D$  y  $v \in V_H$ . La coalescencia de los digrafos  $D$  y  $H$  con respecto a los vértices  $u, v$ , denotada por  $D \cdot H$  es el digrafo obtenido a partir de  $D$  y  $H$  que tiene como conjunto de vértices

$$V_{D \cdot H} = V_{D-u} \cup V_{H-v} \cup \{w\}$$

y dos vértices en  $D \cdot H$  son adyacentes, si son adyacentes en  $D$  ó  $H$ , o si uno es  $w$  y el otro es adyacente a  $u$  o  $v$  en  $D$  ó  $H$ .

La fórmula para calcular el polinomio característico de la coalescencia de dos grafos no dirigidos [1, P. 159] también se cumple para digrafos, como lo podemos ver en el Teorema 2.3. Primero necesitamos un resultado técnico acerca del determinante de una matriz por bloques.

**Lema 2.2** Sea  $A \in \mathcal{M}_p(\mathbb{C})$  y  $B \in \mathcal{M}_q(\mathbb{C})$ . Considere la matriz por bloques

$$D = \begin{pmatrix} A & y & 0 \\ \tilde{y} & r & \tilde{w} \\ 0 & w & B \end{pmatrix}$$

donde  $y$  es un vector columna de  $\mathbb{C}^p$ ,  $\tilde{y}$  es un vector fila de  $\mathbb{C}^p$ ,  $w$  es un vector columna de  $\mathbb{C}^q$ ,  $\tilde{w}$  es un vector fila de  $\mathbb{C}^q$  y  $r \in \mathbb{C}$ . Si

$$\tilde{A} = \begin{pmatrix} A & y \\ \tilde{y} & r \end{pmatrix} \text{ y } \tilde{B} = \begin{pmatrix} r & \tilde{w} \\ w & B \end{pmatrix}$$

entonces

$$|D| = |\tilde{A}| |B| + |\tilde{B}| |A| - r |A| |B|$$

**Demostración.** Asumimos que  $D = (d_{ij})$ . Por la expansión Laplaciana por menores, a lo largo de la primera fila,

$$|D| = \sum_{j=1}^{p+1} (-1)^{1+j} d_{1j} M_{1j}$$

donde para cada  $1 \leq j \leq p$

$$M_{1j} = \begin{vmatrix} A_j^* & y^* & 0^* \\ \tilde{y}_j & r & \tilde{w} \\ 0_j & w & B \end{vmatrix} \text{ y } M_{1,p+1} = \begin{vmatrix} A^* & 0^* \\ \tilde{y} & \tilde{w} \\ 0 & B \end{vmatrix} = \begin{vmatrix} A^* \\ \tilde{y} \end{vmatrix} |B|$$

donde “\*” significa que eliminamos la primera fila y el subíndice  $j$  significa que eliminamos la  $j$ -ésima columna. Un argumento inductivo implica que

$$M_{1j} = \begin{vmatrix} A_j^* & y^* \\ \tilde{y}_j & r \end{vmatrix} |B| + |\tilde{B}| |A_j^*| - r |A_j^*| |B|$$

El resultado se sigue del hecho que

$$|\tilde{A}| = \sum_{j=1}^p (-1)^{1+j} d_{1j} \begin{vmatrix} A_j^* & y^* \\ \tilde{y}_j & r \end{vmatrix} + (-1)^{2+p} d_{1,p+1} \begin{vmatrix} A^* \\ \tilde{y} \end{vmatrix}$$

y

$$|A| = \sum_{j=1}^p (-1)^{1+j} d_{1j} |A_j^*|$$

■

Ahora podemos calcular el polinomio característico de la coalescencia  $D \cdot H$  de los digrafos  $D$  y  $H$ .

**Teorema 2.3** Sean  $D$  y  $H$  dos digrafos tales que  $u \in V_D$  y  $v \in V_H$ . Si  $D \cdot H$  es la coalescencia de los digrafos  $D$  y  $H$  con respecto a los vértices  $u, v$  entonces

$$\Phi_{D \cdot H} = \Phi_D \Phi_{H-v} + \Phi_H \Phi_{D-u} - x \Phi_{D-u} \Phi_{H-v}$$

**Demostración.** Ordenamos los vértices de  $D \cdot H$  como

$$\{u_1, u_2, \dots, u_p = u = v = v_p, v_{p+1}, \dots, v_{p+q-1}\}$$

donde  $V_D = \{u_1, \dots, u_p = u\}$  and  $V_H = \{v = v_p, v_{p+1}, \dots, v_{p+q-1}\}$ . Sea  $\mathbf{0}_{j,k}$  la  $j \times k$  matriz con 0 en todas las entradas. Entonces la matriz de adyacencia de  $D \cdot H$  con respecto a  $u, v$  es de la forma

$$A_{D \cdot H} = \begin{pmatrix} A_{D-u} & y & \mathbf{0}_{p-1, q-1} \\ \tilde{y} & 0 & \tilde{w} \\ \mathbf{0}_{q-1, p-1} & w & A_{H-v} \end{pmatrix}$$

donde

$$A_D = \begin{pmatrix} A_{D-u} & y \\ \tilde{y} & 0 \end{pmatrix} \text{ y } A_H = \begin{pmatrix} 0 & \tilde{w} \\ w & A_{H-v} \end{pmatrix}$$

son las matrices de adyacencia de  $D$  y  $H$ , respectivamente. Notemos que  $y \in \mathbb{C}^{p-1}$  es un vector columna cuya  $j$ -ésima coordenada es 1 si existe un arco de  $u_j$  a  $u$  y 0 en otro caso. Por otra parte,  $\tilde{y} \in \mathbb{C}^{p-1}$  es un vector fila cuya  $j$ -ésima coordenada es 1 si existe un arco de  $u$  a  $u_j$  y 0 en otro caso. Similarmente para  $w, \tilde{w} \in \mathbb{C}^{q-1}$ . Se sigue del Lema 2.2 que

$$\begin{aligned} |xI - A_{D.H}| &= \begin{vmatrix} xI - A_{D-u} & -y & 0 \\ -\tilde{y} & x & -\tilde{w} \\ 0 & -w & xI - A_{H-v} \end{vmatrix} \\ &= |xI - A_D| |xI - A_{H-v}| + |xI - A_H| |xI - A_{D-u}| \\ &\quad - x |xI - A_{D-u}| |xI - A_{H-v}| \\ &= \Phi_D \Phi_{H-v} + \Phi_H \Phi_{D-u} - x \Phi_{D-u} \Phi_{H-v} \end{aligned}$$

■

### 3 Coalescencia de diabanicos y dirruedas

En esta sección consideramos el problema de si la coalescencia de diabanicos y dirruedas es no-derogatorio. Recordemos las siguientes definiciones:

- **Dicamino**  $P_n$

El *dicamino*  $P_n$  es el digrafo con conjunto de vértices  $\{1, \dots, n\}$  y arcos  $(i, i+1)$  para  $i = 1, \dots, n-1$ .

- **Diciclo**  $C_n$

El *diciclo*  $C_n$  es el digrafo con conjunto de vértices  $\{1, \dots, n\}$  y arcos  $(i, i+1)$  para  $i = 1, \dots, n-1$ , y  $(n, 1)$ .

- **Diabanico**  $F_n$

El *diabanico*  $F_n$  es el digrafo que consiste de un dicamino  $P_{n-1}$  de  $n-1$  vértices  $1, 2, \dots, n-1$  y un vértice adicional  $n$ , desde el cual hay un arco hasta cada uno de los vértices de  $P_{n-1}$ . El vértice  $n$  se llama foco del diabanico  $F_n$  y los vértices con etiquetas  $i = 1, \dots, n-1$  son llamados vértices rin del diabanico.

- **Dirrueda**  $W_n$

La *dirrueda*  $W_n$  consiste del diciclo  $C_{n-1}$  con arcos adicionales desde un vértice adicional  $n$  hasta cada uno de los vértices en  $C_{n-1}$ . El vértice  $n$  se llama foco de la dirrueda  $W_n$  y los vértices con etiquetas  $i = 1, \dots, n-1$  son llamados vértices rin de la dirrueda.

Los polinomios característicos de estos digrafos son bien conocidos:

$$\begin{aligned}\Phi_{P_n}(x) &= x^n \\ \Phi_{C_n}(x) &= x^n - 1 \\ \Phi_{F_n}(x) &= x^n \\ \Phi_{W_n}(x) &= x^n - x\end{aligned}$$

Nos apoyaremos fuertemente en el siguiente resultado bastante conocido de la teoría algebraica de grafos. ([1, Teorema 1.9]).

**Teorema 3.1** *Sea  $A$  la matriz de adyacencia del digrafo  $D$  con conjunto de vértices  $V(D) = \{1, \dots, n\}$ . Si  $a_{ij}^{(k)}$  denota la entrada  $ij$  de la matriz  $A^k$ , entonces  $a_{ij}^{(k)}$  es igual al número de caminos de longitud  $k$  desde el vértice  $i$  hasta el vértice  $j$ .*

**Teorema 3.2** *La coalescencia  $F_r \cdot W_s$  con respecto al foco  $u$  del diabanico y al foco  $v$  de la dirrueda es no-derogatoria.*

**Demostración.** Se sigue, del ejemplo anterior que el polinomio característico de  $F_r \cdot W_s$  es,

$$\Phi_{F_r \cdot W_s} = x^r(x^{s-1} - 1)$$

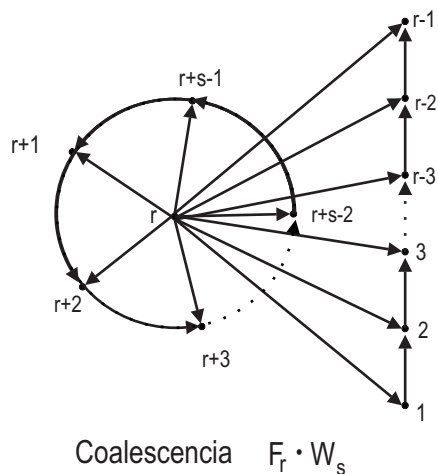
Por lo tanto, el polinomio minimal es de la forma

$$\mu_{F_r \cdot W_s} = x^k(x^{s-1} - 1)$$

para algún  $1 \leq k \leq r$ . Mostraremos que  $A^{r-1}(A^{s-1} - I) \neq 0$  o equivalentemente,  $A^{r+s-2} \neq A^{r-1}$ . Para ver esto, notemos que existe un único camino

$$r \rightarrow 1 \rightarrow 2 \rightarrow \dots \rightarrow r-2 \rightarrow r-1$$

de longitud  $r-1$  en  $F_r \cdot W_s$  desde el vértice  $r$  a  $r-1$ . Así,  $a_{r,r-1}^{(r-1)} = 1$ . Por otro lado, es claro que no hay caminos de  $r$  a  $r-1$  de longitud  $r+s-2$ . Por tanto,  $a_{r,r-1}^{(r+s-2)} = 0$ . En consecuencia,  $\mu_{F_r \cdot W_s} = \Phi_{F_r \cdot W_s}$  y  $F_r \cdot W_s$  es no-derogatorio. ■

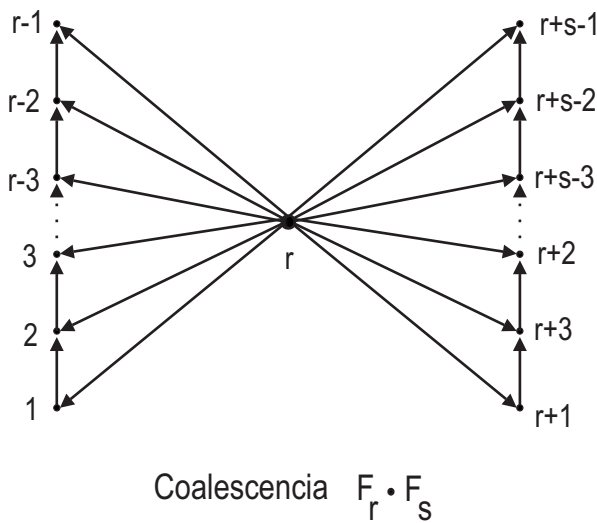


**Teorema 3.3** *La coalescencia  $F_r \cdot F_s$  con respecto al foco  $r$  de  $F_r$  y al foco  $s$  de  $F_s$  es derogatoria.*

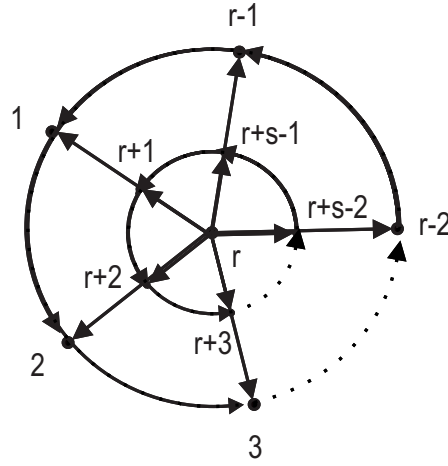
**Demostración.** El polinomio característico de  $F_r \cdot F_s$  esta dado por

$$\begin{aligned} \Phi_{F_r \cdot F_s} &= \Phi_{F_r} \Phi_{P_{s-1}} + \Phi_{F_s} \Phi_{P_{r-1}} - x \Phi_{P_{s-1}} \Phi_{P_{r-1}} \\ &= x^r x^{s-1} + x^s x^{r-1} - x x^{s-1} x^{r-1} = x^{r+s-1} \end{aligned}$$

Como el camino de mayor longitud en  $F_r \cdot F_s$  tiene longitud  $\gamma = \max\{r - 1, s - 1\}$  entonces  $A^\gamma \neq 0$  and  $A^{\gamma+1} = 0$ . En consecuencia,  $\mu_{F_r \cdot F_s} = x^{\gamma+1} \neq x^{r+s-1} = \Phi_{F_r \cdot F_s}$  y  $F_r \cdot F_s$  es derogatorio. ■



**Teorema 3.4** *La coalescencia  $W_r \cdot W_s$  con respecto a los focos  $r$  y  $s$  de  $W_r$  y  $W_s$ , respectivamente es derogatoria.*



Coalescencia  $W_r \cdot W_s$

**Demostración.** El polinomio característico de  $W_r \cdot W_s$  esta dado por

$$\begin{aligned}
 \Phi_{W_r \cdot W_s} &= \Phi_{W_r} \Phi_{C_{s-1}} + \Phi_{W_s} \Phi_{C_{r-1}} - x \Phi_{C_{s-1}} \Phi_{C_{r-1}} \\
 &= (x^r - x)(x^{s-1} - 1) + (x^s - x)(x^{r-1} - 1) - x(x^{s-1} - 1)(x^{r-1} - 1) \\
 &= x(x^{r-1} - 1)(x^{s-1} - 1)
 \end{aligned}$$

Introduzcamos alguna notación: denotamos por  $X$  e  $Y$  las matrices de adyacencia de los ciclos  $C_{r-1}$  y  $C_{s-1}$ , respectivamente. Sea  $J_k$  que denota la matriz  $1 \times k$  con 1 en todas las entradas. Entonces la matriz de adyacencia  $A$  de  $W_r \cdot W_s$  esta dada por la matriz por bloques

$$A = \begin{pmatrix} 0 & J_{r-1} & J_{s-1} \\ \mathbf{0}_{r-1,1} & X & \mathbf{0}_{r-1,s-1} \\ \mathbf{0}_{s-1,1} & \mathbf{0}_{s-1,r-1} & Y \end{pmatrix}$$

Como  $J_{r-1}X = J_{r-1}$  y  $J_{s-1}Y = J_{s-1}$ , se puede ver fácilmente, usando inducción, que para todo entero  $k \geq 1$

$$A^k = \begin{pmatrix} 0 & J_{r-1} & J_{s-1} \\ \mathbf{0}_{r-1,1} & X^k & \mathbf{0}_{r-1,s-1} \\ \mathbf{0}_{s-1,1} & \mathbf{0}_{s-1,r-1} & Y^k \end{pmatrix} \quad (1)$$

Considere los dos casos:



(a)  $r = s$ . En este caso  $\Phi_{W_r \cdot W_r} = x(x^{r-1} - 1)^2$ . Sea  $f(x) = x(x^{r-1} - 1)$ . Como  $X^{r-1} = I$  se sigue que

$$A^r = A^{r-1}A = \begin{pmatrix} 0 & J_{r-1} & J_{s-1} \\ \mathbf{0}_{r-1,1} & I & \mathbf{0}_{r-1,s-1} \\ \mathbf{0}_{s-1,1} & \mathbf{0}_{s-1,r-1} & I \end{pmatrix} A = A$$

y así

$$f(A) = A(A^{r-1} - I) = A^r - A = 0$$

lo que implica que  $\mu_{W_r \cdot W_r} = x(x^{r-1} - 1)$ .

(b)  $r \neq s$ . Supongamos  $r < s$ . Claramente,

$$\Phi_{W_r \cdot W_s} = x(x^{r-1} - 1)(x - 1)(1 + x + \cdots + x^{s-2})$$

Sea  $g(x) = x(x^{r-1} - 1)(1 + x + \cdots + x^{s-2})$ . Como  $Y^{s-1} = I$  se sigue que

$$Y^{r-1} \sum_{k=1}^{s-1} Y^k = Y^r + Y^{r+1} + \cdots + Y^{s-1} + Y + Y^2 + \cdots + Y^{r-1} = \sum_{k=1}^{s-1} Y^k$$

En consecuencia,

$$\begin{aligned} & A^{r-1} \sum_{k=1}^{s-1} A^k = \\ & = \begin{pmatrix} 0 & J_{r-1} & J_{s-1} \\ \mathbf{0}_{r-1,1} & I & \mathbf{0}_{r-1,s-1} \\ \mathbf{0}_{s-1,1} & \mathbf{0}_{s-1,r-1} & Y^{r-1} \end{pmatrix} \begin{pmatrix} 0 & (s-1)J_{r-1} & (s-1)J_{s-1} \\ \mathbf{0}_{r-1,1} & \sum_{k=1}^{s-1} X^k & \mathbf{0}_{r-1,s-1} \\ \mathbf{0}_{s-1,1} & \mathbf{0}_{s-1,r-1} & \sum_{k=1}^{s-1} Y^k \end{pmatrix} \\ & = \begin{pmatrix} 0 & J_{r-1} \sum_{k=1}^{s-1} X^k & J_{s-1} \sum_{k=1}^{s-1} Y^k \\ \mathbf{0}_{r-1,1} & \sum_{k=1}^{s-1} X^k & \mathbf{0}_{r-1,s-1} \\ \mathbf{0}_{s-1,1} & \mathbf{0}_{s-1,r-1} & Y^{r-1} \sum_{k=1}^{s-1} Y^k \end{pmatrix} \\ & = \begin{pmatrix} 0 & (s-1)J_{r-1} & (s-1)J_{s-1} \\ \mathbf{0}_{r-1,1} & \sum_{k=1}^{s-1} X^k & \mathbf{0}_{r-1,s-1} \\ \mathbf{0}_{s-1,1} & \mathbf{0}_{s-1,r-1} & \sum_{k=1}^{s-1} Y^k \end{pmatrix} \\ & = \sum_{k=1}^{s-1} A^k \end{aligned}$$

Luego,

$$g(A) = (A^{r-1} - I) \left( \sum_{k=1}^{s-1} A^k \right) = A^{r-1} \left( \sum_{k=1}^{s-1} A^k \right) - \sum_{k=1}^{s-1} A^k = 0$$

y así,  $\mu_{W_r \cdot W_s} \neq \Phi_{W_r \cdot W_s}$ . En ambos casos,  $W_r \cdot W_s$  es derogatorio. ■

**Observación 3.5** *En la demostración del Teorema 3.4 se mostró que  $\mu_{W_r \cdot W_s} \neq \Phi_{W_r \cdot W_s}$  en el caso  $r \neq s$ . En realidad, podemos determinar el polinomio minimal de  $W_r \cdot W_s$  en este caso. Si  $d = \text{mcd}(r-1, s-1)$  entonces  $\Phi_{W_r \cdot W_s}$  tiene exactamente  $d$  raíces repetidas. En particular, si  $d = 1$  entonces*

$$\mu_{W_r \cdot W_s} = g(x) = x(x^{r-1} - 1)(1 + x + \dots + x^{s-2})$$

Suponga que  $d \geq 2$ . Claramente  $\Phi_{W_r \cdot W_s}$  tiene exactamente  $r+s-1-d$  raíces distintas. Considere el polinomio de grado  $(r+s-1-d)$

$$h(x) = - \sum_{i=0}^{\frac{r-1}{d}-1} x^{1+id} + \sum_{j=0}^{\frac{s-1}{d}-1} x^{r+s-1-d(1+j)}$$

No es difícil mostrar que para cada  $0 \leq i \leq \frac{r-1}{d} - 1$  existe un único  $0 \leq j \leq \frac{s-1}{d} - 1$  tal que

$$X^{1+id} = X^{r+s-1-d(1+j)}$$

Similarmente para  $Y$ . En consecuencia,  $h(X) = h(Y) = 0$  lo que implica de la relación (1), que  $h(A) = 0$ . Así  $h(x) = \mu_{W_r \cdot W_s}$ .

Por ejemplo,

$$\Phi_{W_9 \cdot W_{13}} = x(x^8 - 1)(x^{12} - 1)$$

y

$$\mu_{W_9 \cdot W_{13}} = -x - x^5 + x^{13} + x^{17}$$

Como  $r = 9$  y  $s = 13$ ,  $X^8 = I$  y  $Y^{12} = I$ , donde  $X$  y  $Y$  son las matrices de adyacencia de  $C_8$  y  $C_{12}$ , respectivamente. Notemos que

$$X^{13} = X^5, \quad X^{17} = X$$

y

$$Y^{13} = Y, \quad Y^{17} = Y^5$$

## 4 Digrafos acíclicos no-derogatorios

El grado de salida de un vértice  $x$ , denotado por  $od(x)$ , es el número de arcos en  $D$  de la forma  $(x, y)$ . Análogamente, el grado de entrada de  $x$  es el número de arcos de la forma  $(y, x)$  en  $D$ . Usualmente se denota por  $id(x)$ . Un subdigrafo lineal  $L$  de  $D$  es un subdigrafo de  $D$  en el que  $id(x) = od(x) = 1$  para todo vértice  $x$  de  $D$ ; en otras palabras, sus componentes son ciclos. El teorema de los coeficientes para digrafos, relaciona los coeficientes del polinomio característico de un digrafo  $D$  con el conjunto de subdigrafos lineales de  $D$ . ([1, Teorema 1.2]).

**Teorema 4.1** *Sea*

$$\Phi_D(x) = x^n + a_1x^{n-1} + \cdots + a_{n-1}x + a_n$$

*el polinomio característico del digrafo  $D$ . Entonces para cada  $i = 1, \dots, n$*

$$a_i = \sum_{L \in \mathcal{L}_i} (-1)^{p(L)} \quad (2)$$

*donde  $\mathcal{L}_i$  es el conjunto de todos los subdigrafos lineales  $L$  de  $D$  con exactamente  $i$  vértices;  $p(L)$  denota el número de componentes de  $L$  (i.e., el número de ciclos que tiene  $L$ )*

Si  $D$  es un digrafo acíclico (i.e. un digrafo sin ciclos) con  $n$  vértices entonces por el Teorema 4.1, el polinomio característico de  $D$  es simplemente  $\Phi_D = x^n$ . Por lo tanto,  $D$  es no-derogatorio si, y sólo si,  $A^{n-1} \neq 0$ . Ahora bien, como la entrada  $uv$  de la matriz potencia  $A^{n-1}$  es precisamente el número de caminos en  $D$  de longitud  $n - 1$  de  $u$  a  $v$  (por el Teorema 3.1), se tiene la siguiente

**Proposición 4.2** *Sea  $D$  un digrafo acíclico con  $n$  vértices. Los siguientes son equivalentes:*

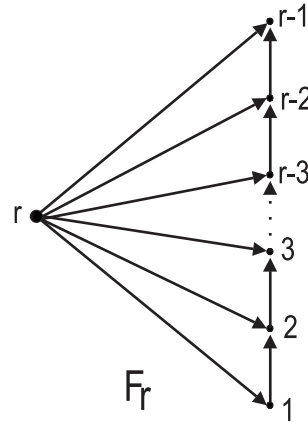
1.  *$D$  es un digrafo no-derogatorio*
2. *Existe un camino  $\pi$  en  $D$  de longitud  $n - 1$*

Una trayectoria generadora en un digrafo  $D$  se llama *trayectoria hamiltoniana*. Un digrafo *hamiltoniano por trayectorias*, es un digrafo que contiene una trayectoria hamiltoniana.

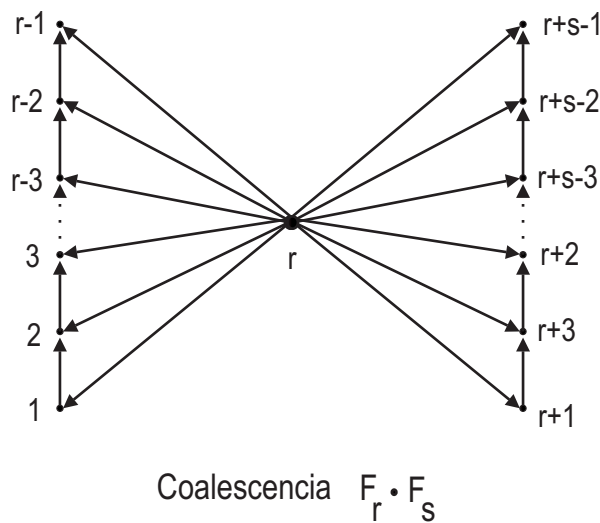
Notemos que un camino de longitud  $n - 1$ , en un digrafo  $D$  acíclico de  $n$  vértices, es una trayectoria hamiltoniana. Luego, como consecuencia de la proposición 4.2, obtenemos el siguiente

**Corolario 4.3** *Sea  $D$  un digrafo acíclico. Entonces  $D$  es no-derogatorio si, y sólo si,  $D$  es hamiltoniano por trayectorias.*

**Ejemplo 4.4** (i) Considere el diabanico  $F_r$ . Este digrafo es acíclico. Notemos que  $r \rightarrow 1 \rightarrow 2 \rightarrow \dots \rightarrow r-2 \rightarrow r-1$  es una trayectoria hamiltoniana de  $F_r$ . Por el corolario 4.3,  $F_r$  es no-derogatorio, como se obtuvo en la sección 2.1.



(ii) Ahora, considere la coalescencia  $F_r \cdot F_s$



Este digrafo acíclico no contiene trayectorias hamiltonianas. Luego, de nuevo por el corolario 4.3,  $F_r \cdot F_s$  es derogatorio, tal como se obtuvo en el Teorema 3.3.

Es natural preguntarse cuándo un digrafo que tenga ciclos es no-derogatorio. El objetivo de la siguiente sección es caracterizar los digrafos *unicíclicos* no-derogatorios, (i.e., digrafos no-derogatorios que tienen exactamente un ciclo).

## 5 Digrafos unicíclicos no-derogatorios

Recordemos que un ciclo  $C$  de longitud  $r$  en un digrafo  $D$ , es una sucesión de vértices  $v_1, \dots, v_r$  de  $D$  y arcos  $(v_i, v_{i+1})$ ,  $i = 1, \dots, r-1$ , y  $(v_r, v_1)$ .

En lo que sigue,  $D$  es un digrafo con  $n$  vértices y ciclo único  $C$  de longitud  $r \geq 2$ . Del teorema 4.1 el polinomio caracterísitico de  $D$  esta dado por

$$\Phi_D = x^n - x^{n-r} = x^{n-r} (x^r - 1)$$

Como  $x^r - 1$  es un producto de factores lineales distintos, el polinomio minimal  $\mu_D$  tiene la forma

$$\mu_D = x^p (x^r - 1)$$

donde  $1 \leq p \leq n - r$ . Por lo tanto,  $D$  es un digrafo no-derogatorio si y sólo si

$$A^{n-r-1} (A^r - I) \neq 0$$

o en forma equivalente,

$$A^{n-1} \neq A^{n-r-1}$$

Sea  $D_p(u, v)$  el conjunto de caminos en  $D$  de longitud  $p$  desde el vértice  $u$  al vértice  $v$ . Sabemos por el Teorema 3.1 que la entrada  $uv$  de la matriz potencia  $A^p$  es precisamente  $|D_p(u, v)|$ , donde  $|X|$  denota la cardinalidad del conjunto  $X$ . Así, hemos demostrado el siguiente resultado:

**Proposición 5.1** *Sea  $D$  un digrafo con  $n$  vértices y ciclo único  $C$  de longitud  $r \geq 2$ . Las siguientes condiciones son equivalentes:*

1.  $D$  es un digrafo no-derogatorio;
2. Existen  $u, v \in V_D$  tales que  $|D_{n-1}(u, v)| \neq |D_{n-r-1}(u, v)|$ .

En los siguientes resultados se presenta una descripción más clara de la condición 2 en la proposición 5.1.

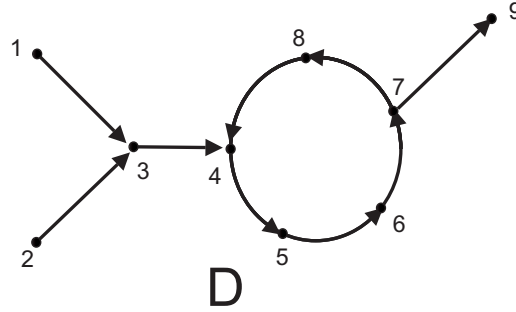
Supongamos que  $\{x_1, \dots, x_r\}$  son los vértices de  $C$ ,  $(x_i, x_{i+1})$ ,  $i = 1, \dots, r-1$ , y  $(x_r, x_1)$  son los arcos de  $C$ . Para cada  $1 \leq j \leq r$ , sea  $C(x_j)$  un camino cerrado  $x_j \cdots x_r x_1 \cdots x_j$ . Definamos

$$D_{n-1}^\circ(u, v) = \{\pi \in D_{n-1}(u, v) : \pi \text{ contiene } C(x_j) \text{ para algún } x_j (1 \leq j \leq r)\}$$

y

$$D_{n-r-1}^*(u, v) = \{\pi \in D_{n-r-1}(u, v) : \pi \text{ contiene } x_j \text{ para algún } x_j (1 \leq j \leq r)\}$$

**Ejemplo 5.2** Considere el digrafo  $D$  con conjunto de vértices  $V = \{1, 2, 3, 4, 5, 6, 7, 8, 9\}$  y arcos  $E = \{(1, 3), (2, 3), (3, 4), (4, 5), (5, 6), (6, 7), (7, 8), (8, 4), (7, 9)\}$ .



$D$  es un digrafo con único ciclo  $C = 4, 5, 6, 7, 8, 4$  de longitud 5. Notemos además que, no existen trayectorias hamiltonianas en  $D$ . Sea  $\pi = 1, 3, 4, 5, 6, 7, 8, 4, 5$ .  $\pi$  tiene longitud 8, comienza en el vértice 1, termina en el vértice 5 y contiene a  $C(4)$  y  $C(5)$ . Luego,  $\pi \in D_8^\circ(1, 5)$ . Mientras que por ejemplo,  $D_8^\circ(8, 9) = \emptyset$ . Por otra parte, sea  $\sigma = 2, 3, 4, 5$ .  $\sigma$  tiene longitud 3, contiene a los vértices 4 y 5, que están en  $C$ , comienza en el vértice 2 y termina en el vértice 5. Así,  $\sigma \in D_3^\circ(2, 5)$ . Cualquier camino de longitud 3 entre vértices  $u$  y  $v$  de  $D$  pertenece a  $D_3^\circ(u, v)$ .

**Lema 5.3** Sea  $D$  un digrafo con  $n$  vértices y ciclo único  $C$  de longitud  $r \geq 2$ . Entonces  $|D_{n-1}^\circ(u, v)| = |D_{n-r-1}^*(u, v)|$  para todo  $u, v \in V_D$ .

**Demostración.** Notemos que  $\pi = u \cdots x_j \cdots v \in D_{n-r-1}^*(u, v)$  si y sólo si  $\bar{\pi} = u \cdots C(x_j) \cdots v \in D_{n-1}^\circ(u, v)$ , donde  $j$  es un entero tal que  $x_j$  es el primer vértice de  $\pi$  que está en  $C$ .

Por lo tanto, la función  $\Phi : D_{n-r-1}^*(u, v) \rightarrow D_{n-1}^\circ(u, v)$  definida como  $\Phi(\pi) = \bar{\pi}$ , está bien definida y claramente es biyectiva. ■

En particular,  $D_{n-r-1}^*(u, v) = \emptyset$  si y sólo si  $D_{n-1}^\circ(u, v) = \emptyset$  y en este caso,

$$|D_{n-1}^\circ(u, v)| = |D_{n-r-1}^*(u, v)| = 0.$$

Sea  $D - C$  el digrafo obtenido de  $D$  al eliminar los vértices de  $C$  y los arcos incidentes a el. Si  $D - C$  es hamiltoniano por trayectorias, entonces su estructura es muy simple, como se puede ver en el siguiente resultado.

**Proposición 5.4** Sea  $\Omega$  un digrafo hamiltoniano por trayectorias acíclico con  $n$  vértices. Entonces,  $\Omega$  se obtiene de  $P_n : u_1 \rightarrow u_2 \rightarrow \cdots \rightarrow u_n$  al añadir algunos arcos de la forma  $u_j \rightarrow u_k$ , donde  $k > j$ .

**Demostración.** Sea  $\pi : u_1 \xrightarrow{a_1} u_2 \xrightarrow{a_2} \dots \xrightarrow{a_{n-1}} u_n$  una trayectoria generadora de  $\Omega$  y supongamos que  $u_j \xrightarrow{b} u_k$  pertenece a  $\Omega$ , donde  $k < j$ . Entonces,

$$u_k \xrightarrow{a_k} \dots \xrightarrow{a_{j-1}} u_j \xrightarrow{b} u_k$$

es un ciclo en  $\Omega$ , lo cual es una contradicción. ■

En particular, un digrafo hamiltoniano por trayectorias acíclico  $\Omega$  tiene una única trayectoria hamiltoniana: comienza en el único vértice de grado incidente 0 y termina en el único vértice con grado salida 0 de  $\Omega$ .

**Lema 5.5** *Sea  $D$  un digrafo con  $n$  vértices y ciclo único  $C$  de longitud  $r \geq 2$ . Entonces,*

1.  $D_{n-1}(u, v) \setminus D_{n-1}^\circ(u, v)$  es el (posiblemente vacío) conjunto de trayectorias hamiltonianas de  $D$  desde  $u$  a  $v$ ;
2.  $D_{n-r-1}(u, v) \setminus D_{n-r-1}^*(u, v)$  es el (posiblemente vacío) conjunto de trayectorias hamiltonianas de  $D - C$  de  $u$  a  $v$ .

**Demostración.**

1. Claramente, una trayectoria hamiltoniana de  $D$  desde  $u$  a  $v$  es una trayectoria de longitud  $n-1$  que no contiene  $C$ . Por el contrario, suponga que  $\pi \in D_{n-1}(u, v) \setminus D_{n-1}^\circ(u, v)$ . Entonces  $\pi$  es la trayectoria de longitud  $n-1$  desde  $u$  a  $v$  que no contiene al ciclo  $C$ . Ya que  $C$  es un ciclo único de  $D$ , entonces claramente  $\pi$  es una trayectoria generadora de  $D$  desde  $u$  a  $v$ . 2. Primero nótese que  $D - C$  es un digrafo con  $n-r$  vértices. Es claro que cada trayectoria hamiltoniana en  $D - C$  pertenece a  $D_{n-r-1}(u, v) \setminus D_{n-r-1}^*(u, v)$ . Por el contrario, si  $\sigma \in D_{n-r-1}(u, v) \setminus D_{n-r-1}^*(u, v)$  entonces,  $\sigma$  es una trayectoria en  $D - C$  de longitud  $n-r-1$ . Ya que  $D - C$  es acíclico se sigue que  $\sigma$  es una trayectoria hamiltoniana en  $D - C$ . ■

Para todo  $u, v \in V_D$  definimos

$$h^\circ(u, v) = |D_{n-1}(u, v) \setminus D_{n-1}^\circ(u, v)|$$

y

$$h^*(u, v) = |D_{n-r-1}(u, v) \setminus D_{n-r-1}^*(u, v)|$$

Por el lema 5.5,  $h^\circ(u, v)$  (resp.  $h^*(u, v)$ ) es el número de trayectorias hamiltonianas en  $D$  (resp.  $D - C$ ) desde el vértice  $u$  al vértice  $v$ .

Ahora, podemos caracterizar los digrafos unicíclicos no-derogatorios en términos de condiciones de hamiltoniedad. Se distinguen dos casos: (a)  $D - C$  es hamiltoniano por trayectorias y,

por lo tanto,  $D - C$  tiene la forma dada en la Proposición 5.4; (b)  $D - C$  no es hamiltoniano por trayectorias.

**Teorema 5.6** *Sea  $D$  un digrafo con  $n$  vértices y ciclo único  $C$  de longitud  $r \geq 2$ .*

1. *Si  $D - C$  no es hamiltoniano por trayectorias entonces*

$$D \text{ es no-derogatorio} \Leftrightarrow D \text{ es de hamiltoniano por trayectorias}$$

2. *Si  $D - C$  es hamiltoniano por trayectorias con un única trayectoria hamiltoniana de  $u$  a  $v$  entonces,*

$$D \text{ es no-derogatorio} \Leftrightarrow h^\circ(u, v) \neq 1$$

**Demostración.** Por la Proposición 5.1,  $D$  es no-derogatorio si, y sólo si, existen  $u, v \in V_D$  tales que  $|D_{n-1}(u, v)| \neq |D_{n-r-1}(u, v)|$ . Notemos que  $D_{n-1}(u, v)$  y  $D_{n-r-1}(u, v)$  pueden ser expresados como uniones disjuntas

$$D_{n-1}(u, v) = D_{n-1}^\circ(u, v) \cup [D_{n-1}(u, v) \setminus D_{n-1}^\circ(u, v)]$$

y

$$D_{n-r-1}(u, v) = D_{n-r-1}^*(u, v) \cup [D_{n-r-1}(u, v) \setminus D_{n-r-1}^*(u, v)]$$

Se sigue del Lema 5.3 que

$$D \text{ es no-derogatorio} \Leftrightarrow h^\circ(u, v) \neq h^*(u, v) \text{ para algunos } u, v \in V_D \quad (3)$$

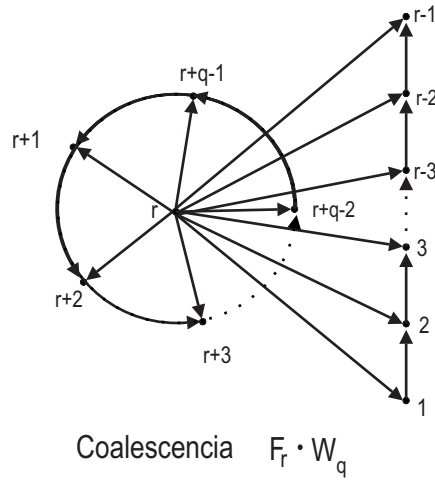
1. Asuma que  $D - C$  no es hamiltoniano por trayectorias. Entonces,  $h^*(u, v) = 0$  para todo  $u, v \in V_D$ . Se sigue de (3) y el lema 5.5 que

$$\begin{aligned} D \text{ es no-derogatorio} &\Leftrightarrow h^\circ(u, v) \neq 0 \text{ para algunos } u, v \in V_D \\ &\Leftrightarrow D \text{ es una trayectoria hamiltoniana} \end{aligned}$$

2. Asuma que  $D - C$  es hamiltoniano por trayectorias con un única trayectoria hamiltoniana desde el vértice  $u$  al vértice  $v$ . Entonces,  $h^*(u, v) = 1$  y  $h^*(w, z) = 0$  para todos los otros vértices  $w$  y  $z$  en  $V_D$ . Se sigue de (3) que si  $h^\circ(u, v) \neq 1$  entonces  $D$  es no-derogatorio. Ahora, asuma que  $h^\circ(u, v) = 1$ . Demostraremos que  $h^\circ(w, z) = 0$  para todos los demas vértices  $w$  y  $z$  en  $V_D$ , lo que implica que  $D$  es derogatorio. En efecto, sea  $\pi$  una trayectoria hamiltoniana en  $D$  de  $u$  a  $v$  y  $\sigma$  una trayectoria hamiltoniana en  $D$  de  $w$  a  $z$ . Si  $w \neq u$ , existe un arco  $w' \rightarrow u$  en  $D$ . Como  $\pi$  induce un camino de  $u$  a  $w'$ , entonces se forma un ciclo en  $D$  diferente de  $C$ . Esto es una contradicción. De manera similar,  $z = v$ . ■

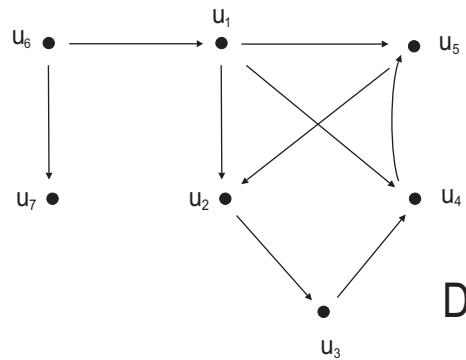


**Ejemplo 5.7** Considere la coalescencia  $F_r \cdot W_q$  de los digrafos  $F_r$  y  $W_q$  por el foco de ambos.



$F_r \cdot W_q$  es unicíclico con único ciclo  $C = r + 1, r + 2, \dots, r + q - 2, r + q - 1, r + 1$ . Notemos que,  $F_r \cdot W_q - C = F_r$ , el cual es hamiltoniano por trayectorias. Además,  $h^\circ(u, v) = 0$ . Por tanto, por el Teorema 5.6,  $F_r \cdot W_q$  es no-derogatorio, resultado obtenido en el Teorema 3.2.

**Ejemplo 5.8** Considere el digrafo  $D$  con vértices  $V(D) = \{u_1, u_2, u_3, u_4, u_5, u_6, u_7\}$  y arcos  $E(D) = \{(u_1, u_2), (u_1, u_5), (u_1, u_4), (u_2, u_3), (u_3, u_4), (u_4, u_5), (u_6, u_1), (u_6, u_7)\}$ .



Por el Teorema 4.1, el polinomio característico de  $D$  es,

$$\Phi(x) = x^7 - x^3$$

Después de hacer cálculos algo tediosos, resulta que el polinomio minimal es,

$$\mu(x) = x^6 - x^2$$

Mostrando que  $D$  es derogatorio. Notemos, por otra parte, que  $D$  tiene un único ciclo  $C = u_5, u_2, u_3, u_4, u_5$  de longitud 4. Fácilmente se observa que  $D - C$  no es hamiltoniano por trayectorias y tampoco lo es  $D$ . Luego, por el Teorema 5.6,  $D$  es derogatorio.

#### Agradecimientos

Apoyo financiero fue recibido por el Consejo de Desarrollo Científico, Humanístico y Tecnológico de la Universidad de Los Andes (CDCHT, C-13490505B).

#### References

- [1] D.M. Cvetković, M. Doob y H. Sachs, *Spectra of graphs*. Academic Press, New York 1980.
- [2] C.S. Gan y V.C. Koo, On annihilating uniqueness of directed windmills, Proceedings of the ATCM (ATCM 2002), Melaka, Malaysia.
- [3] C.S. Gan, The complete product of annihilatingly unique digraphs, Int. J. Math. Math. Sci. 2005, no. 9, 1327-1331.
- [4] K.S. Lam, On digraphs with unique annihilating polynomial, Ph.D. Thesis, University of Malaya, Kuala Lumpur, 1990.
- [5] K.S. Lam y C.K. Lim, The characteristic polynomial of ladder digraph and an annihilating uniqueness theorem, Discrete Mathematics 151, (1996) 161-167.
- [6] A. Mowshowitz, Graphs, groups and matrices. Proc. Canad. Math. Congr., 1971. 509-522.
- [7] J. Rada, Nonderogatory directed windmills, submitted.
- [8] N. Biggs, *Algebraic graph theory*. Cambridge University Press, 1993.
- [9] C. Meyer, *Matrix analysis and applied linear algebra*. SIAM (2000)

**DIEGO BRAVO**

Departamento de Matemáticas, Facultad de Ciencias,  
Universidad de Los Andes  
Mérida 5101, Venezuela  
e-mail: dbravo@ula.ve

**JUAN RADA**

Departamento de Matemáticas, Facultad de Ciencias,  
Universidad de Los Andes  
Mérida 5101, Venezuela  
e-mail: juanrada@ula.ve